














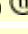
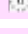


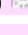
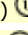
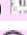

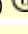
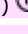







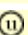




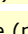
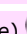
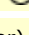
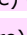

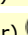
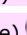

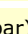




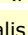
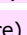

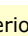


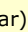
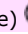
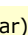


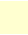

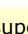
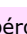

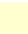



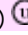

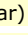
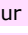

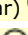
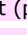


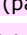

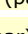
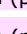

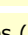
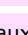

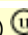
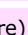



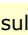





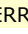
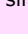
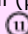

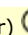
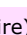

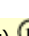
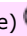




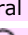
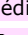




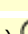
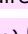











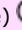
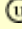










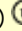














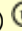

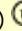




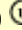


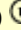





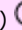

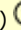


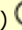







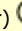







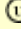


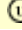













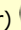


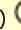




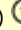

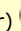


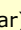


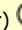


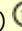
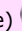




































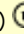



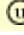








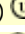













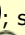
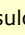


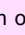

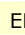






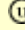











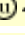
















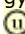
























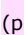

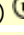








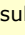

telencephalon  PARTONOMY LIST























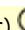


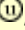

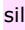








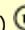










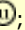



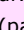
















FMA	TA	UID	Short official Latin term	Short French equivalent
62000		5264	telencephalon  ; cerebrum 	télocéphale  ; cerveau 
		12095	morphologia externa telencephali	morphologie externe du télencéphale
83727		5976	fissura longitudinalis cerebri 	fissure longitudinale du cerveau 
61817		5971↓	hemispherium cerebri (par) 	hémisphère cérébral (paire) 
83874		5973	gyri cerebri (par) 	gyrus cérébraux (paire) 
327491		5975	sulci cerebri (par) 	sillons cérébraux (paire) 
84361		5978	fossa lateralis cerebri (par) 	fosse cérébrale latérale (paire) 
		14197	vallacula cerebri (par) 	vallécule cérébrale (paire) 
75140		5979	margo superior (par) 	marge supérieure (paire) 
75141		5980	margo inferomedialis (par) 	marge inféromédiale (paire) 
75142		5981	margo inferolateralis (par) 	marge inférolatérale (paire) 
		5982	facies superolateralis (par) 	face supérolatérale (paire) 
		6037	facies inferomedialis (par) 	face inféromédiale (paire) 
		12438	gyri interlobares (par) 	gyrus interlobaires (paire) 
		12439	operculum insulare (par) 	opercule insulaire (paire) 
74886		5993	operculum frontale (par) 	opercule frontal (paire) 
74889		6007↓	operculum parietale (par) 	opercule pariétal (paire) 
74891		6020↓	operculum temporale (par) 	opercule temporal (paire) 
274737		8666↓	gyrus subcentralis (par) 	gyrus souscentral (paire) 
77534		6045	lobulus paracentralis (par) 	lobule paracentral (paire) 
77537		6046	gyrus paracentralis anterior (par) 	gyrus paracentral antérieur (paire) 
		12237	cortex motorius primarius (par) 	cortex moteur primaire (paire) 
77538		6058	gyrus paracentralis posterior (par) 	gyrus paracentral postérieur (paire) 
		13176	sulci interlobares (par) 	sillons interlobaires (paire) 
		5983	sulci interlobares superolaterales (par) 	sillons interlobaires supérolatéraux (paire) 
83752		5984	sulcus centralis (par) 	sillon central (paire) 
77801		5985	sulcus lateralis (par) 	sillon latéral (paire) 
83761		5986	ramus posterior (par) 	rameau postérieur (paire) 
83759		5987	ramus ascendens (par) 	rameau ascendant (paire) 
83760		5988	ramus anterior (par) 	rameau antérieur (paire) 
83754		5989	sulcus parietooccipitalis (par) 	sillon pariétooccipital (paire) 
83739		5990	incisura preoccipitalis (par) 	incisure préoccipitale (paire) 
		9115	sulci interlobares inferomediales (par) 	sillons interlobaires inféromédiaux (paire) 
83743		6038	sulcus corporis callosi (par) 	sillon du corps calleux (paire) 
83748		6039	sulcus cingularis (par)  ; sulcus cinguli (par)	sillon cingulaire (paire)  ; sillon du cingulum (paire)
83773		6040	ramus marginalis (par)  ; ERR1	rameau marginal (paire)  ; sillon marginal (paire) 
83777		6041	sulcus subparietalis (par) 	sillon souspariétal (paire) 
83751		6042	sulcus collateralis (par)  ; ERR1	sillon collatéral (paire)  ; sillon occipitotemporal médial (paire) 
83752		5984	sulcus centralis  	sillon central  
61823		5974	lobi cerebri (par) 	lobes cérébraux (paire) 
61824		5991	lobus frontalis (par) 	lobe frontal (paire) 
		8658	facies superolateralis (par) 	face supérolatérale (paire) 
		8659↓	sulcus frontomarginalis (par) 	sillon frontomarginal (paire) 
74885		5992↓		

			polus frontalis (par)	pôle frontal (paire)
274406		11028	area frontopolaris (par)	aire frontopolaire (paire)
274408		11029	gyrus frontopolaris superior (par)	gyrus frontopolaire supérieur (paire)
274420		11032	gyrus frontopolaris medius (par)	gyrus frontopolaire moyen (paire)
274414		11034	gyrus frontopolaris inferior (par)	gyrus frontopolaire inférieur (paire)
274504		11035	gyrus frontomarginalis (par)	gyrus frontomarginal (paire)
74886		5993	operculum frontale	opercule frontal
61860		5994	gyrus frontalis inferior (par)	gyrus frontal inférieur (paire)
61982		5995	pars orbitalis (par)	partie orbitaire (paire)
61980		5996↓	pars triangularis (par)	partie triangulaire (paire)
		11840	sulcus radiatus (par)	sillon radiant (paire)
61981		5997	pars opercularis (par)	partie operculaire (paire)
83758		8780↓	sulcus diagonalis (par)	sillon diagonal (paire)
83757		5998	sulcus frontalis inferior (par)	sillon frontal inférieur (paire)
273103		5999	gyrus frontalis medius (par)	gyrus frontal moyen (paire)
		8660	cortex prefrontalis superolateralis (par)	cortex préfrontal supérolatéral (paire)
		8661	cortex prefrontalis dorsolateralis (par)	cortex préfrontal dorsolatéral (paire)
		8662	cortex prefrontalis ventrolateralis (par)	cortex préfrontal ventrolatéral (paire)
		8663↓	cortex premotorius superolateralis (par)	cortex prémoteur supérolatéral (paire)
		8664↓	cortex premotorius dorsalis (par)	cortex prémoteur dorsal (paire)
		8665↓	cortex premotorius ventralis (par)	cortex prémoteur ventral (paire)
61894		6000	gyrus precentralis (par)	gyrus précentral (paire)
		12236	cortex motorius primarius gyri precentralis (par)	cortex moteur primaire du gyri précentral (paire)
83800		6001	sulcus precentralis (par)	sillon précentral (paire)
83765		8667↓	sulcus subcentralis anterior (par)	sillon souscentral antérieur (paire)
83778		8668↓	sulcus subcentralis posterior (par)	sillon souscentral postérieur (paire)
61857		6002	gyrus frontalis superior (par)	gyrus frontal supérieur (paire)
83755		6003	sulcus frontalis superior (par)	sillon frontal supérieur (paire)
		9118	facies inferomedialis (par)	face inféromédiale (paire)
61857		6002	gyrus frontalis superior	gyrus frontal supérieur
		12158↓	sulcus paracingularis (par)	sillon paracingulaire (paire)
		12159↓	gyrus paracingularis (par)	gyrus paracingulaire (paire)
83782		6044	sulcus paracentralis (par)	sillon paracentral (paire)
77534		6045	lobulus paracentralis	lobule paracentral
77537		6046	gyri paracentralis anterioris	gyrus paracentral antérieur
		12237	cortex motorius primarius	cortex moteur primaire
		8669	cortex prefrontalis inferomedialis (par)	cortex préfrontal inféromédial (paire)
		8670	cortex prefrontalis medialis (par)	cortex préfrontal médial (paire)
		8671↓	cortex premotorius inferomedialis (par)	cortex prémoteur inféromédial (paire)
		8672↓	cortex premotorius medialis (par)	cortex prémoteur médial (paire)
61890		6047	area subcallosa (par) ; ERR1	aire souscallose (paire) ; gyrus souscalleux (paire)
61919		6048	gyrus paraterminalis (par)	gyrus paraterminal (paire)
61890		6049	area paraolfactoria (par)	aire paraolfactive (paire)







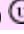

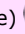

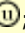
















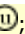


















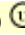





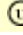



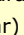

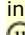

72019		6050	gyrus paraolfactorius (par) 	gyrus paraolfactif (paire) 
		6051	sulci paraolfactorii (par) 	sillons paraolfactifs (paire) 
83744		8673	sulcus paraolfactorius anterior (par) 	sillon paraolfactif antérieur (paire) 
83745		8674	sulcus paraolfactorius posterior (par) 	sillon paraolfactif postérieur (paire) 
256194		6052↓	gyri orbitales (par) 	gyrus orbitaires (paire) 
62419		8675↓	gyrus orbitalis medialis (par) 	gyrus orbitaire médial (paire) 
256196		8676↓	gyrus orbitalis anterior (par) 	gyrus orbitaire antérieur (paire) 
80184		8677↓	gyrus orbitalis posterior (par) 	gyrus orbitaire postérieur (paire) 
62418		8678↓	gyrus orbitalis lateralis (par) 	gyrus orbitaire latéral (paire) 
		12160↓	lobulus orbitalis posteromedialis (par) 	lobule orbitaire postéromédial (paire) 
		12161↓	regio orbitalis posterolateralis (par) 	région orbitaire postérolatérale (paire) 
83770		6053↓	sulci orbitales (par) 	sillons orbitaires (paire) 
		8679↓	sulcus orbitalis lateralis (par) 	sillon orbitaire latéral (paire) 
83771		8680↓	sulcus orbitalis transversus (par) 	sillon orbitaire transverse (paire) 
		8681↓	sulcus orbitalis medialis (par) 	sillon orbitaire médial (paire) 
		12162↓	sulcus rostralis superior (par) 	sillon rostral supérieur (paire) 
		12163↓	sulcus rostralis inferior (par) 	sillon rostral inférieur (paire) 
61893		6054	gyrus rectus (par) 	gyrus droit (paire) 
83769		6055	sulcus olfactorius (par) 	sillon olfactif (paire) 
		8682	substantia perforata anterior (par)  ; ERR1	substance perforée antérieure (paire)  ; substance perforée rostrale (paire) 
		8683	structurae olfactoriae (par) 	structures olfactives (paire) 
77624		6195	bulbus olfactorius (par) 	bulbe olfactif (paire) 
77625		6196	pedunculus olfactorius (par) 	pédoncule olfactif (paire) 
77626		6197	tractus olfactorius  	voie olfactive  
74883		6198	trigonum olfactorium (par) 	trigone olfactif (paire) 
61891		6199	tuberculum olfactorium  	tubercule olfactif  
		6200	striae olfactoriae (par) 	stries olfactives (paire) 
77627		6201	stria olfactoria medialis (par) 	strie olfactive médiale (paire) 
61971		6202	stria olfactoria lateralis (par) 	strie olfactive latérale (paire) 
		14202	tractus olfactorius lateralis (par) 	voie olfactive latérale (paire) 
		8686↓	regio retrobulbaris (par) 	région rétrobulbaire (paire) 
		8687	cortex piriformis (par)  ; ERR1	cortex piriforme (paire)  ; cortex olfactif primaire (paire) 
		8689	pars frontalis (par) 	partie frontale (paire) 
		8690	pars temporalis (par) 	partie temporale (paire) 
61826		6004	lobus parietalis (par) 	lobe pariétal (paire) 
		8698	facies superolateralis (par) 	face supérolatérale (paire) 
61896		6009	gyrus postcentralis (par) 	gyrus postcentral (paire) 
		12238	cortex somatosensorius primarius gyri postcentralis (par) 	cortex somatosensoriel primaire du gyrus postcentral (paire) 
83774		6010	sulcus postcentralis (par) 	sillon postcentral (paire) 
61899		6011↓	lobulus parietalis superior (par) 	lobule pariétal supérieur (paire) 
83772		6008↓	sulcus intraparietalis (par) 	sillon intrapariétal (paire) 
		8781↓	sulcus intermedius primus (par)  ; ERR1	premier sillon intermédiaire (paire); sillon intermédiaire antérieur (paire) 
		8782↓	sulcus intermedius secundus (par)  ; ERR1	deuxième sillon intermédiaire (paire); sillon intermédiaire postérieur (paire) 

	9122↓	sulcus parietalis transversus (U) (C)	sillon pariétal transverse (U) (C)
77536	 6006↓	lobulus parietalis inferior (par) (U)	lobule pariétal inférieur (paire) (U)
61898	 6005↓	gyrus angularis (par) (U)	gyrus angulaire (paire) (U)
74889	 6007↓	operculum parietale (U) (C)	opercule pariétal (U) (C)
61897	 6012↓	gyrus supramarginalis (par) (U)	gyrus supramarginal (paire) (U)
	9120	facies inferomedialis (par) (U)	face inféromédiale (paire) (U)
77534	 6045	lobulus paracentralis (U) (C)	lobule paracentral (U) (C)
77538	 6058	gyrus paracentralis posterior (U) (C)	gyrus paracentral postérieur (U) (C)
	12239	cortex somatosensorius primarius gyri paracentralis posterioris (U) (C)	cortex somatosensoriel primaire du gyrus paracentral postérieur (U) (C)
	9122↓	sulcus parietalis transversus (par) (U)	sillon pariétal transverse (paire) (U)
61900	 6059	precuneus (par) (U)	précunéus (paire) (U)
83777	 6041	sulcus subparietalis (U) (C)	sillon souspariétal (U) (C)
67325	 6013	lobus occipitalis (par) (U)	lobe occipital (paire) (U)
	8700	facies superolateralis (par) (U)	face supérolatérale (paire) (U)
74892	 6014	polus occipitalis (par) (U)	pôle occipital (paire) (U)
83788	 6015	sulcus lunatus (par) (U)	sillon lunaire (paire) (U)
83786	 6016	sulcus occipitalis transversus (par) (U)	sillon occipital transverse (paire) (U)
61901	8701	gyrus occipitalis superior (par) (U)	gyrus occipital supérieur (paire) (U)
61902	8702	gyrus occipitalis medius (par) (U)	gyrus occipital moyen (paire) (U)
273129	8703	gyrus occipitalis inferior (par) (U)	gyrus occipital inférieur (paire) (U)
274557	8691	gyrus occipitalis descendens (par) (U)	gyrus occipital descendant (paire) (U)
	8692	area striata superolateralis (par) (U)	aire striée supérolatérale (paire) (U)
68614	9119	cortex visualis primarius (U); area striata (U) (C)	cortex visuel primaire (U); aire striée (U) (C)
	8784	area extrastriata superolateralis (par) (U)	aire extrastriée supérolatérale (paire) (U)
	9125	facies inferomedialis (par) (U)	face inféromédiale (paire) (U)
61903	 6060	cuneus (par) (U)	cunéus (paire) (U)
83749	 6061	sulcus calcarinus (par) (U)	sillon calcarin (paire) (U); scissure calcarine (paire)
61904	 6062	gyrus lingualis (par) (U); ERR1	gyrus lingual (paire) (U); gyrus occipitotemporal médial (paire) (U)
74518	 6065	sulcus occipitotemporalis (par) (U); ERR1	sillon occipitotemporal (paire) (U); sillon occipitotemporal latéral (paire) (U)
	8704	area striata inferomedialis (par) (U)	aire striée inféromédiale (paire) (U)
68614	9119	cortex visualis primarius (U); area striata (U) (C)	cortex visuel primaire (U); aire striée (U) (C)
	8709	area extrastriata inferomedialis (par) (U)	aire extrastriée inféromédiale (paire) (U)
61825	 6017	lobus temporalis (par) (U)	lobe temporal (paire) (U)
	8705	facies superolateralis (par) (U)	face supérolatérale (paire) (U)
74890	 6018	polus temporalis (par) (U)	pôle temporal (paire) (U)
61905	 6019↓	gyrus temporalis superior (par) (U)	gyrus temporal supérieur (paire) (U)
	8706↓	pars anterior (par) (U); ERR1; belt area (par)	partie antérieure (paire) (U); cortex auditif secondaire (paire) (U)
	8708↓	pars posterior (par) (U)	partie postérieure (paire) (U)
74891	 6020↓	operculum temporale (U) (C)	opercule temporal (U) (C)
71043	8710	planum polare (par) (U)	plan polaire (paire) (U)
273671	 6021↓	gyri temporales transversi (par) (U)	gyrus temporaux transverses (paire) (U)
	12252	cortex auditorius primarius (par) (U)	cortex auditif primaire (paire) (U)
61909	 6022	gyrus temporalis transversus anterior (par) (U)	gyrus temporal transverse antérieur (paire) (U)






























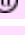







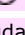

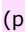











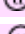

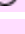
















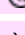

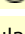





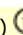
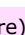

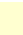



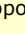







61910		6023	gyrus temporalis transversus posterior (par) 	gyrus temporal transverse postérieur (paire) 
71045		6024↓	planum temporale (par) 	planum temporale (paire); plan temporal (paire)
83782		6025	sulci temporales transversi (par) 	sillons temporaux transverses (paire) 
		8711	sulcus temporalis transversus anterior (par) 	sillon temporal transverse antérieur (paire) 
		8712	sulcus temporalis transversus intermedius (par) 	sillon temporal transverse intermédiaire (paire) 
		8713	sulcus temporalis transversus posterior (par) 	sillon temporal transverse postérieur (paire) 
83783		6026	sulcus temporalis superior (par) 	sillon temporal supérieur (paire) 
61906		6027	gyrus temporalis medius (par) 	gyrus temporal moyen (paire) 
83784		6028	sulcus temporalis inferior (par) 	sillon temporal inférieur (paire) 
61907		6029↓	gyrus temporalis inferior (par) 	gyrus temporal inférieur (paire) 
		9129	facies inferomedialis (par) 	face inféromédiale (paire) 
61907		6029↓	gyrus temporalis inferior  	gyrus temporal inférieur  
74518		6065	sulcus occipitotemporalis  ; sulcus occipitotemporalis lateralis  	sillon occipitotemporal  ; sillon occipitotemporal latéral  
61908		6063	gyrus fusiformis (par)  ; ERR1	gyrus fusiforme (paire)  ; gyrus occipitotemporal latéral (paire) 
		12164	pars medialis gyri fusiformis (par) 	partie médiale du gyrus fusiforme (paire) 
		12165	pars lateralis gyri fusiformis (par) 	partie latérale du gyrus fusiforme (paire) 
		8714↓	cortex ectorhinalis (par) 	cortex ectorhinal (paire) 
		12166	sulcus fusiformis medius (par) 	sillon fusiforme moyen (paire) 
83751		6042	sulcus collateralis  ; sulcus occipitotemporalis medialis  	sillon collatéral  ; sillon occipitotemporal médial  
61918		6070	gyrus parahippocampalis  	gyrus parahippocampique  
67329		6030↓	insula (par) 	insula (paire) 
274526		6031	gyri insulae (par) 	gyrus de l'insula (paire)  ; gyrus insulaires (paire)
67555		6032	gyri longi insulae (par) 	gyrus longs de l'insula (paire) 
274723		11498	gyrus longus anterior insulae (par) 	gyrus long antérieur de l'insula (paire) 
274729		11508	gyrus longus posterior insulae (par) 	gyrus long postérieur de l'insula (paire) 
61913		6033	gyri breves insulae (par) 	gyrus courts de l'insula (paire) 
274705		11509	gyrus brevis anterior insulae (par) 	gyrus court antérieur de l'insula (paire) 
274711		11510	gyrus brevis medius insulae (par) 	gyrus court moyen de l'insula (paire) 
274717		11511	gyrus brevis posterior insulae (par) 	gyrus court postérieur de l'insula (paire) 
		12167	gyrus transversus insulae (par) 	gyrus transverse de l'insula (paire) 
61915		11513	gyrus accessorius anterior insulae (par) 	gyrus accessoire antérieur de l'insula (paire) 
83753		6035	sulcus circularis insulae (par)  ; ERR1	sillon circulaire de l'insula (paire)  ; sillon périinsulaire (paire) 
83779		6034	sulcus centralis superior insulae (par) 	sillon central supérieur de l'insula (paire) 
75266		6036	limen insulae (par) 	limen de l'insula (paire)
		9241	regio peripaleocorticalis claustralis (par) 	région périléo-corticale claustrale (paire) 
72719		6066	lobus limbicus (par) 	lobe limbique (paire) 
275048		8717	gyrus limbicus (par) 	gyrus limbique (paire) 
61890		6047	area subcallosa  ; gyrus subcallosus	aire souscallose  ; gyrus souscalieux

		 		 
62434		6067↓	gyrus cingularis (par) 	gyrus cingulaire (paire)  ; gyrus du cingulum (paire)
61916		8718	pars anterior (par) 	partie antérieure (paire) 
276530		8720	pars media (par) 	partie moyenne (paire) 
61924		8726	pars posterior (par) 	partie postérieure (paire) 
		9433↓	cortex retrosplenialis  	cortex rétrosplénial  
62502		6068	isthmus gyri cingularis (par) 	isthme du gyrus cingulaire (paire) 
61918		6070	gyrus parahippocampalis (par) 	gyrus parahippocampique (paire) 
		8740↓	cortex entorhinalis (par) 	cortex entorhinal (paire) 
		8741	substantia reticularis alba (par) 	matière blanche réticulaire (paire)
		8742↓	verrucae hippocampi (par) 	verrues hippocampiques (paire)
		8719↓	cortex perirhinalis (par) 	cortex périrhinal (paire) 
		9432	subregio transentorhinalis (par) 	sousrégion transentorhinale (paire) 
74884		6071↓	uncus (par) 	uncus (paire) 
		8734↓	gyrus ambiens (par) 	gyrus ambiens (paire)
		8735↓	sulcus semianularis (par) 	sillon semianulaire (paire) 
		8736↓	gyrus semilunaris (par) 	gyrus semilunaire (paire) 
		8737↓	gyrus uncinatus (par) 	gyrus unciné (paire) 
		8738↓	limbus fasciae dentatae (par)	limbe du fascia denté (paire); limbe du gyrus denté (paire)
275054		8739↓	gyrus intralimbicus (par) 	gyrus intralimbique (paire) 
83751		6042	sulcus collateralis  ; sulcus occipitotemporalis medialis  	sillon collatéral  ; sillon occipitotemporal médial  
83746		6076	sulcus rhinalis (par) 	sillon rhinal (paire) 
		8756↓	sulcus intrarhinalis (par) 	sillon intrarhinal (paire) 
		12155↓	regio periamygdaloidea (par) 	région périamygdaloïde (paire) 
74038		8721	formatio hippocampi (par)	formation hippocampique (paire) 
277774		8722	pars precommissuralis hippocampi (par) 	partie précommissurale de l'hippocampe (paire) 
		8723	pars supracommissuralis hippocampi (par) 	partie supracommissurale de l'hippocampe (paire) 
62439		6083	stria longitudinalis lateralis (par) 	strie longitudinale latérale (paire) 
62488		6082	indusium griseum (par) 	indusium gris (paire) 
67956		6084	stria longitudinalis medialis (par) 	strie longitudinale médiale (paire) 
277777		8724↓	hippocampus proprius (par)  ; ERR1	hippocampe propre (paire)  ; partie rétrocommissurale de l'hippocampe (paire) 
		12253	divisiones hippocampi proprii (par) 	divisions de l'hippocampe propre (paire) 
323277		6146	pes hippocampi (par) 	pied de l'hippocampe (paire) 
		6147	digitationes hippocampi (par) 	digitations de l'hippocampe (paire) 
275036		9275	caput hippocampi (par)  ; ERR1	tête de l'hippocampe (paire)  ; segment antérieur de l'hippocampe (paire) 
275030		9278	corpus hippocampi (par)  ; ERR1	corps de l'hippocampe (paire)  ; segment moyen de l'hippocampe (paire) 
275042		9294	cauda hippocampi (par)  ; ERR1	queue de l'hippocampe (paire)  ; segment postérieur de l'hippocampe (paire) 
83747		6072	sulcus hippocampalis (par) 	sillon hippocampique (paire) 
61922		6073	gyrus dentatus (par)  ; ERR1	gyrus denté (paire)  ; fascia denté (paire) 
83728		6074	sulcus fimbriodentatus (par) 	sillon fimbriodenté (paire) 

	8762↓	dentes subiculi (par) ; ERR1	dents du subiculum (paire) ; gyrus sousspléniaux (paire)
61921	6069↓	gyrus fasciolaris (par)	gyrus fasciolaire (paire)
275093	8757↓	fasciola cinerea (par)	fasciola cinerea (paire)
74414	6149	subiculum (par)	subiculum (paire)
62486	6148	presubiculum (par)	présubiculum (paire)
77604	6145	parasubiculum (par)	parasubiculum (paire)
86464	6077	corporis callosi	corps calleux
61945	6078	rostrum	bec
61946	6079	genu	genou
61947	6080	truncus ; corpus	tronc ; corps
61948	6081	splenium corporis callosi	splénium du corps calleux
61844	6098	septi pellucidi	septum pellucidum
61874	6099	cavum	cave
62472	6100	lamina (par)	lame (paire)
	12096	morphologia interna telencephali	morphologie interne du télencéphale
61830	6124	cortex cerebri (par)	cortex cérébral (paire)
61830	5972↓	pallium (par)	pallium (paire)
	8793↓	pallium dorsale (par)	pallium dorsal (paire)
	8798↓	pallium laterale (par)	pallium latéral (paire)
	8826↓	pallium mediale (par)	pallium médial (paire)
	8827↓	pallium ventrale (par)	pallium ventral (paire)
62429	6130	isocortex (par) ; ERR1	isocortex (paire) ; néocortex (paire)
	8830↓	isocortex granularis (par)	isocortex granulaire (paire)
	8851	areae sensoriae primariae (par)	aires sensorielles primaires (paire)
	8852	areae sensoriae unimodales (par)	aires sensorielles unimodales (paire)
	8853	areae associationis ordini magni (par) ; ERR1	aires d'association de haut niveau (paire); aires d'association principale (paire)
	8868	isocortex agranularis (par)	isocortex agranulaire (paire)
	8869	area motoria primaria (par)	aire motrice primaire (paire)
	8919	areae motoriae nonprimariae (par)	aires motrices nonprimaires (paire)
242257	6131	strata isocortcis (par)	couches de l'isocortex (paire)
242259	6132	lamina molecularis (par) ; ERR1	lame moléculaire (paire) ; lame I (paire)
242264	6133	lamina granularis externa (par) ; ERR1	lame granulaire externe (paire) ; lame II (paire)
242283	6134	lamina pyramidalis externa (par) ; ERR1	lame pyramidale externe (paire) ; lame III (paire)
242298	6135	lamina granularis interna (par) ; ERR1	lame granulaire interne (paire) ; lame IV (paire)
242313	6136	lamina pyramidalis interna (par) ; ERR1	lame pyramidale interne (paire) ; lame V (paire)
242333	6137	lamina multiformis (par) ; ERR1	lame multiforme (paire) ; lame VI (paire)
	8928	striae fibrarum myelinatarum isocortcis (par)	stries de fibres myelinisées de l'isocortex (paire)
77807	6138	stria laminae molecularis (par) ; ERR1; tangential layer (par)	strie de la lame moléculaire (paire) ; lame 1 (paire) ; lame tangentielle (paire)
	8929	sublamina superficialis (par) ; ERR1	souslame superficielle (paire) ; souslame 1a (paire)
	8982	sublamina intermedia (par) ; ERR1	souslame intermédiaire (paire) ; souslame 1b (paire)
	9021	sublamina profunda (par) ; ERR1	souslame profonde (paire) ; souslame 1c (paire)

9022	lamina dysfibrosa (par)  ; ERR1	lame dysfibreuse (paire)  ; lame 2 (paire) 
9083	lamina suprastrata (par)  ; ERR1	lame suprastrée (paire)  ; lame 3 (paire) 
9084	sublamina superficialis (par)  ; ERR1	souslame superficielle (paire)  ; souslame 3a (paire) 
9085	sublamina intermedia (par)  ; ERR1	souslame intermédiaire (paire)  ; souslame 3b (paire) 
9086	sublamina profunda (par)  ; ERR1	souslame profonde (paire)  ; souslame 3c (paire) 
9087	stria laminae pyramidalis externi (par)  ; ERR1	strie de la lame pyramidale externe (paire)  ; lame 4 (paire) 
9101	lamina intrastrata (par)  ; ERR1	lame intrastrée (paire)  ; souslame 5a (paire) 
77809 	9142 stria laminae pyramidalis interni (par)  ; ERR1	strie de la lame pyramidale interne (paire)  ; souslame 5b (paire) 
9102	lamina substriata limitans (par)  ; ERR1	lame sousstrée limitante (paire)  ; lame 6 (paire) 
9109	sublamina substriata (par)  ; ERR1	souslame sousstrée (paire)  ; souslame 6a (paire) 
9110	sublamina limitans (par)  ; ERR1	souslame limitante (paire)  ; souslame 6b (paire) 
9114	stria verticalis (par) 	strie verticale (paire) 
9116	columna corticalis isocorticalis (par) 	colonne corticale de l'isocortex (paire) 
68614	9119 cortex visualis primarius (par)  ; ERR1	cortex visuel primaire (paire)  ; aire striée (paire) 
75667 	9141 stria occipitalis (par) 	strie occipitale (paire) 
9126	columna dominantiae ocularis (par)	colonne de dominance oculaire (paire)
9127	columna orientationis (par) 	colonne d'orientation (paire) 
9132	hypercolumna (par) 	hypercolonne (paire) 
9135↓	neura isocorticalis (par) 	neurones de l'isocortex (paire) 
9139	neura projectionis isocorticalis (par)  ; ERR1	neurones de projection de l'isocortex (paire)  ; neurones pyramidaux de l'isocortex (paire) 
8814	neura pyramidalia magna isocorticalis (par) 	grands neurones pyramidaux de l'isocortex (paire) 
8815	neura pyramidalia gigantea isocorticalis (par) 	neurones pyramidaux géants de l'isocortex (paire) 
9143	neura commissuralia isocorticalis (par) 	neurones commissuraux de l'isocortex (paire) 
8816	neura pyramidalia media isocorticalis (par) 	neurones pyramidaux moyens de l'isocortex (paire) 
9155	neura associationis isocorticalis (par) 	neurones d'association de l'isocortex (paire) 
8817	neura pyramidalia parva isocorticalis (par) 	petits neurones pyramidaux de l'isocortex (paire) 
9170	interneura isocorticalis (par) 	interneurones de l'isocortex (paire) 
8818	interneura excitatoria isocorticalis (par)  ; ERR1	interneurones excitateurs de l'isocortex (paire)  ; interneurones épineux de l'isocortex (paire) 
8819	neura stellata spinosa isocorticalis (par) 	neurones stellaires épineux de l'isocortex (paire) 
8820↓	interneura inhibitoria isocorticalis (par)  ; ERR1	interneurones inhibiteurs de l'isocortex (paire)  ; interneurones doux de l'isocortex (paire) 
8821	neura axodendritica isocorticalis (par) 	neurones axodendritiques de l'isocortex (paire) 
8822	neura bipolaria isocorticalis (par) 	neurones bipolaires de l'isocortex (paire) 
	neura horizontalia isocorticalis	neurones horizontaux de

8823	(par)	l'isocortex (paire)
8824	neura multiplumosa isocortici (par)	neurones multitouffes de l'isocortex (paire)
8825	neura neurogliaformia isocortici (par) ; ERR1	neurones neurogliaformes de l'isocortex (paire) ; neurones aranéiformes de l'isocortex (paire)
8828	neura racemiformia biracemiformia isocortici (par) ; ERR1	neurones dendritiques doubles en bouquet de l'isocortex (paire); neurones bitouffes de l'isocortex (paire)
8829	neura axosomatodendritica isocortici (par)	neurones axosomatodendritiques de l'isocortex (paire)
8831	neura corbiformia magna isocortici (par)	grands neurones en panier de l'isocortex (paire)
8832	neura corbiformia parva isocortici (par)	petits neurones en panier de l'isocortex (paire)
8833	neura axoaxonica isocortici (par)	neurones axoaxonaux de l'isocortex (paire)
8834	neura candelaria isocortici (par)	neurones en chandelier de l'isocortex (paire)
9180↓	complexus claustrinsularis (par)	agrégat claustrinsulaire (paire)
67440	6187↓ claustrum (par)	barrière (paire)
9186	claustrum dorsale (par) ; ERR1	barrière dorsale (paire) ; barrière insulaire (paire) ; avant-mur dorsal (paire)
9187	claustrum ventrale (par) ; ERR1	barrière ventrale (paire) ; noyau endopiriforme (paire) ; avant-mur ventral (paire)
9188↓	cortex insularis (par)	cortex insulaire (paire)
9189	cortex insularis agranularis (par)	cortex insulaire agranulaire (paire)
9206	neura projectionis corticis insularis (par)	neurones de projection du cortex insulaire (paire)
9222	neura bipolaria magna corticis insularis (par)	grands neurones bipolaires du cortex insulaire (paire)
9223↓	cortex insularis dysgranularis (par)	cortex insulaire dysgranulaire (paire)
9227↓	cortex insularis granularis (par)	cortex insulaire granulaire (paire)
83687	6128↓ allocortex (par)	allocortex (paire)
62430	6126↓ paleocortex (par)	paléocortex (paire)
9183	strata bulbi olfactorii (par)	couches du bulbe olfactif (paire)
9228	stratum neurofibrosum (par)	couche du nerf olfactif (paire)
9229	stratum glomerulare (par)	couche glomérulaire (paire)
9230	glomerulus olfactorius (par)	glomérule olfactif (paire)
9231	stratum plexiforme externum (par)	couche plexiforme externe (paire)
9232	stratum mitrale (par)	couche mitrale (paire)
9233	stratum plexiforme internum (par)	couche plexiforme interne (paire)
9234	stratum granulare (par)	couche granulaire (paire)
9237	neura bulbi olfactorii (par)	neurones du bulbe olfactif (paire)
9332	neura projectionis bulbi olfactorii (par) ; ERR1	neurones de projection du bulbe olfactif (paire) ; neurones principaux du bulbe olfactif (paire)
9333	neura mitralia bulbi olfactorii (par)	neurones mitraux du bulbe olfactif (paire)
9334	neura plumosa bulbi olfactorii (par)	neurones touffes du bulbe olfactif (paire)
9335	neura plumosa externa bulbi olfactorii (par)	neurones touffes externes du bulbe olfactif (paire)
9364	neura plumosa media bulbi olfactorii (par)	neurones touffes moyens du bulbe olfactif (paire)
	neura plumosa interna bulbi	neurones touffes internes du bulbe



















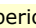





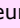











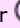







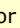
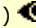


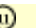


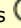








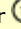








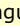
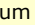










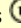
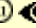








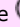










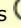




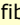
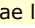

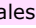

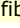
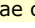

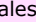






















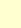
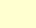







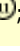











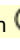

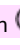


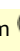

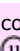
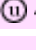








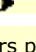




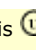


9365		olfactorii (par) 	olfactif (paire) 
9366		interneura bulbi olfactorii (par) 	interneurones du bulbe olfactif (paire) 
9367		interneura excitatoria bulbi olfactorii (par) 	interneurones excitateurs du bulbe olfactif (paire) 
9368↓		neura juxtaglomerularia bulbi olfactorii (par) 	neurones juxtaglomérlaires du bulbe olfactif (paire) 
9379		interneura inhibitoria bulbi olfactorii (par) 	interneurones inhibiteurs du bulbe olfactif (paire) 
9380		neura granularia superficialia bulbi olfactorii (par) 	neurones granulaires superficiels du bulbe olfactif (paire) 
9383		neura granularia intermedia bulbi olfactorii (par) 	neurones granulaires intermédiaires du bulbe olfactif (paire) 
9384		neura granularia profunda bulbi olfactorii (par) 	neurones granulaires profonds du bulbe olfactif (paire) 
9387		neura periglomerularia bulbi olfactorii (par) 	neurones périglomérlaires du bulbe olfactif (paire) 
	6306	cellulae dopaminergicae bulbi olfactorii (par) 	cellules dopaminergiques du bulbe olfactif (paire) 
77628		6182↓ strata regionis retrobulbaris (par) 	couches de la région rétrobulbaire (paire) 
9238		stratum moleculare (par) 	couche moléculaire (paire) 
9239		stratum densocellulare (par) 	couche densocellulaire (paire) 
9240		stratum multiforme (par) 	couche multiforme (paire) 
9242		strata corticis piriformis (par) 	couches du cortex piriforme (paire) 
9245		stratum moleculare (par) 	couche moléculaire (paire) 
9246		stratum densocellulare (par) 	couche densocellulaire (paire) 
9247		stratum multiforme (par) 	couche multiforme (paire) 
9243		strata regionis periamygdaloidei (par) 	couches de la région périamygdaloïde (paire) 
9248		stratum moleculare (par) 	couche moléculaire (paire) 
9250		stratum densocellulare (par) 	couche densocellulaire (paire) 
9244		strata regionis peripaleocorticalis claustralis (par) 	couches de la région péripaléocorticale claustrale (paire) 
9251		stratum moleculare (par) 	couche moléculaire (paire) 
9252		stratum densocellulare (par) 	couche densocellulaire (paire) 
9253		stratum dissecans (par) 	couche dissécante (paire) 
9272		stratum multiforme (par) 	couche multiforme (paire) 
62424		6125↓ archicortex (par) 	archicortex (paire) 
9295		regiones hippocampi (par) 	régions de l'hippocampe (paire) 
74042		6151 cornu ammonis 1 (par) 	corne de Ammon 1 (paire) 
72044		6152 cornu ammonis 2 (par) 	corne de Ammon 2 (paire) 
72045		6153 cornu ammonis 3 (par) 	corne de Ammon 3 (paire) 
75741		6154 cornu ammonis 3h (par) 	corne de Ammon 3h (paire) 
	6157	strata hippocampi (par) 	couches de l'hippocampe (paire) 
83149		6158 stratum lacunomoleculare (par) 	couche lacunomoléculaire (paire) 
83894		6161 stratum radiatum (par) 	couche radiante (paire) 
83895		6160 stratum pyramidale (par) 	couche pyramidale (paire) 
83893		6159 stratum oriens (par) 	couche oriens (paire)
9023		neura hippocampi (par) 	neurones de l'hippocampe (paire) 
9298		neura projectionis hippocampi (par) 	neurones de projection de l'hippocampe (paire) 
9299		neura pyramidalia hippocampi (par) 	neurones pyramidaux de l'hippocampe (paire) 
9305↓		interneura hippocampi (par) 	interneurones de l'hippocampe (paire) 
		interneura inhibitoria hippocampi	interneurones inhibiteurs de

9307	(par)	l'hippocampe (paire)
9312	neura corbiformia hippocampi (par)	neurones en panier de l'hippocampe (paire)
9326	neura bistratificata hippocampi (par)	neurones bistratifiés de l'hippocampe (paire)
9328	neura candelaria hippocampi (par)	neurones en chandelier de l'hippocampe (paire)
8764	substantia alba hippocampi (par)	matière blanche de l'hippocampe (paire)
13172	tractus commissurales hippocampi 	voies commissurales de l'hippocampe
61970	6286↓ commissura hippocampi psalterium 	commissure de l'hippocampe psaltérium
9331	tractus descendentes hippocampi tractus descendentes originis hippocampi	voies descendantes de l'hippocampe voies descendantes d'origine dans l'hippocampe
61965	6091 fornix 	fornix
8538	tractus proprii hippocampi tractus intrinseci hippocampi	voies propres de l'hippocampe voies intrinsèques de l'hippocampe
9396	neurofibrae muscosae hippocampi 	fibres moussues de l'hippocampe
9397	collaterales axonales hippocampi proprii 	collatéraux axonaux de l'hippocampe propre
8539↓	via endofolialis 	voie endofoliée
9398	collaterales axonales hilares hippocampi proprii 	collatéraux axonaux hilaires de l'hippocampe propre
83867	6156 alveus hippocampi 	alvéus de l'hippocampe
83866	6075 fimbria hippocampi 	fimbria de l'hippocampe
83678	6163 strata gyri dentati (par)	couches du gyrus denté (paire)
83677	6164 stratum moleculare gyri dentati (par) 	couche moléculaire du gyrus denté (paire)
83146	6165 stratum granulare gyri dentati (par) 	couche granulaire du gyrus denté (paire)
72358	6166 stratum multiforme gyri dentati (par) 	couche multiforme du gyrus denté (paire)
9399	neura gyri dentati (par)	neurones du gyrus denté (paire)
9400	neura projectionis gyri dentati (par) neura principalia gyri dentati (par)	neurones de projection du gyrus denté (paire) neurones principaux du gyrus denté (paire)
9401	neura granularia gyri dentati (par) 	neurones granulaires du gyrus denté (paire)
9402	interneura gyri dentati (par)	interneurones du gyrus denté (paire)
9403	interneura excitatoria gyri dentati (par)	interneurones excitateurs du gyrus denté (paire)
9404	neura muscosa gyri dentati (par) ERR1	neurones moussus du gyrus denté (paire) neurones stellaires du gyrus denté (paire)
9405	interneura inhibitoria gyri dentati (par)	interneurones inhibiteurs du gyrus denté (paire)
9406	neura corbiformia pyramidalia gyri dentati (par)	neurones pyramidaux en panier du gyrus denté (paire)
9407	neura candelaria gyri dentati (par) ERR1	neurones en chandelier du gyrus denté (paire); neurones axoaxonaux du gyrus denté (paire)
11908	strata subiculi (par)	couches du subiculum (paire)
8760	stratum moleculare subiculi (par)	couche moléculaire du subiculum (paire)
8761	stratum pyramidale subiculi (par)	couche pyramidale du subiculum (paire)
8763	stratum multiforme subiculi (par)	couche multiforme du subiculum (paire)












































6129↓	mesocortex (par) ^U	mésocortex (paire) ^U
8920	proisocortex (par) ^U	proisocortex (paire) ^U
8921	periallocortex (par) ^U	périallocortex (paire) ^U
8922	peripaleocortex (par) ^U	péripaléocortex (paire) ^U
8924	periarchicortex (par) ^U	périarchicortex (paire) ^U
12168↓	strata presubiculi (par) ^U	couches du présubiculum (paire) ^U
9411	stratum moleculare presubiculi (par) ^U	couche moléculaire du présubiculum (paire) ^U
9412	stratum principale externum presubiculi (par) ^U	couche principale externe du présubiculum (paire) ^U
9413	stratum principale internum presubiculi (par) ^U	couche principale interne du présubiculum (paire) ^U
12169	strata parasubiculi (par) ^U	couches du parasubiculum (paire) ^U
9415	stratum moleculare parasubiculi (par) ^U	couche moléculaire du parasubiculum (paire) ^U
9416	stratum cellulare parasubiculi (par) ^U	couche cellulaire du parasubiculum (paire) ^U
9417↓	strata corticis entorhinalis (par) ^U	couches du cortex entorhinal (paire) ^U
9418	stratum moleculare corticis entorhinalis (par) ^U ; ERR1	couche moléculaire du cortex entorhinal (paire) ^U ; lame 1 du cortex entorhinal (paire) ^U
9421	stratum principale externum corticis entorhinalis (par) ^U	couche principale externe du cortex entorhinal (paire) ^U
9422	stratum stellare corticis entorhinalis (par) ^U ; ERR1	couche stellaire du cortex entorhinal (paire) ^U ; lame 2 du cortex entorhinal (paire) ^U
9425	stratum pyramidale corticis entorhinalis (par) ^U ; ERR1	couche pyramidale du cortex entorhinal (paire) ^U ; lame 3 du cortex entorhinal (paire) ^U
9427	lamina dissecans corticis entorhinalis (par) ^U ; ERR1	lame dissécanse du cortex entorhinal (paire) ^U ; lame 4 du cortex entorhinal (paire) ^U
9428	stratum principale internum corticis entorhinalis (par) ^U ; ERR1	couche principale interne du cortex entorhinal (paire) ^U ; lame 5 du cortex entorhinal (paire) ^U
9429	stratum magnocellulare corticis entorhinalis (par) ^U ; ERR1	couche magnocellulaire du cortex entorhinal (paire) ^U ; souslame 5a du cortex entorhinal (paire) ^U
9430	stratum parvocellulare corticis entorhinalis (par) ^U ; ERR1	couche parvocellulaire du cortex entorhinal (paire) ^U ; souslame 5b du cortex entorhinal (paire) ^U
9431	stratum 5c corticis entorhinalis (par) ^U ; ERR1	couche 5c du cortex entorhinal (paire) ^U ; souslame 5c du cortex entorhinal (paire) ^U
8766	strata corticis perirhinalis (par) ^U	couches du cortex périrhinal (paire) ^U
8767	stratum moleculare corticis perirhinalis (par) ^U ; ERR1	couche moléculaire du cortex périrhinal (paire) ^U ; lame 1 du cortex périrhinal (paire) ^U
8768↓	stratum stellare corticis perirhinalis (par) ^U ; ERR1	couche stellaire du cortex périrhinal (paire) ^U ; lame 2 du cortex périrhinal (paire) ^U
8769	stratum pyramidale externum corticis perirhinalis (par) ^U ; ERR1	couche pyramidale externe du cortex périrhinal (paire) ^U ; lame 3 du cortex périrhinal (paire) ^U
8770	lamina dissecans corticis perirhinalis (par) ^U ; ERR1	lame dissécanse du cortex périrhinal (paire) ^U ; lame 4 du cortex périrhinal (paire) ^U
8771	stratum pyramidale internum corticis perirhinalis (par) ^U ; ERR1	couche pyramidale interne du cortex périrhinal (paire) ^U ; lame 5 du cortex périrhinal (paire) ^U
	stratum multiforme corticis	couche multiforme du cortex

	8772	perirhinalis (par) ; ERR1	périorhinal (paire) ; lame 6 du cortex périorhinal (paire)
	9454↓	cortex cingularis (par)	cortex cingulaire (paire)
	9433↓	cortex retrosplénialis (par)	cortex rétrosplénial (paire)
	9434	cortex ectosplénialis (par)	cortex ectosplénial (paire)
	9443	cortex retrosplénialis granularis (par)	cortex rétrosplénial granulaire (paire)
	9453	cortex retrosplénialis dysgranularis (par)	cortex rétrosplénial dysgranulaire (paire)
	9449	substantia alba hemispherii cerebri (par)	matière blanche de l'hémisphère cérébral (paire)
	9459↓	centrum semiovale (par)	centre semiovale (paire)
61960	6267↓	capsula extrema	capsule extrême
62076	9508↓	pedunculus temporalis	pédoncule temporal
77636	6275	fasciculus uncinatus cerebri	faisceau unciné du cerveau
77633	6276	(fasciculus occipitofrontalis inferior	(faisceau occipitofrontal inférieur
61950	6239	capsula interna (par)	capsule interne (paire)
61952	6241	crus anterius (par)	segment antérieur (paire)
76976	5877	radiatio thalamica anterior ; radiatio anterior thalami	radiation thalamique antérieure
75223	6243	tractus frontopontinus	voie frontopontique
61953	6244	genu (par)	genou (paire)
75222	6245	pars capsularis	partie capsulaire
61954	6246	crus posterius (par)	segment postérieur (paire)
76978	5878	radiatio thalamica centralis ; radiatio centralis thalami	radiation thalamique centrale
	8528	tractus corticoreticularis	voie corticoréticulée
	9196	tractus corticorubralis	voie corticorubrique
	8527	tractus corticospinalis	voie corticospinale
	8525	fibrae corticothalamicae	fibres corticothalamiques
	8535	fibrae parietopontinae	fibres pariétopontiques
	7574	fibrae thalamoparietales	fibres thalamopariétales
61957	6254↓	pars retrolentiformis (par)	partie rétrolentiforme (paire) ; segment rétrolentiforme (paire)
	8534	fibrae occipitopontinae	fibres occipitopontiques
	6256	fibrae occipitotectales	fibres occipitotectales
61941	5884	radiatio optica	radiation optique
	12178	fibrae geniculocalcarinae	fibres géniculocalcarines
76982	5886	radiatio thalamica posterior ; radiatio posterior thalami	radiation thalamique postérieure
61958	6259↓	pars sublentiformis (par)	partie souslentiforme (paire) ; segment souslentiforme (paire)
	8500	radiatio acustica	radiation acoustique
	12176	fibrae geniculotemporales	fibres géniculotemporales
	6261	fibrae corticotectales	fibres corticotectales
61941	5884	radiatio optica	radiation optique
	12178	fibrae geniculocalcarinae	fibres géniculocalcarines
	8536	fibrae temporo-pontinae	fibres temporo-pontiques
	8525	fibrae corticothalamicae	fibres corticothalamiques
260714	7616	tractus associationis originis telencephali ; tractus associationis cerebri	voies d'association de l'origine cérébrale ; voies d'association du cerveau
260717	6274↓	fibrae associationis breves; fibrae U-figuratae	fibres d'association courtes; fibres en U
77630	6273↓	fibrae associationis longae	fibres longues d'association
	14223	systema longitudinale superius	système longitudinal supérieur

77631		6272↓	fasciculus longitudinalis superior  	faisceau longitudinal supérieur  
		9484	fasciculus longitudinalis superior I  	faisceau longitudinal supérieur I  
		9485	fasciculus longitudinalis superior II  	faisceau longitudinal supérieur II  
		9486	fasciculus longitudinalis superior III  	faisceau longitudinal supérieur III  
		11829	fasciculus frontooccipitalis  	faisceau frontooccipital  
77634		6277	(fasciculus occipitofrontalis superior  	(faisceau occipitofrontal supérieur 
776650		6269↓	fasciculus arcuatus  	faisceau arqué  
		14203	systema longitudinale inferior  	système longitudinal inférieur  
		14221	fasciculus frontooccipitalis inferior  	faisceau frontooccipital inférieur  
77636		6275	fasciculus uncinatus cerebri  	faisceau unciné du cerveau  
77633		6276	(fasciculus occipitofrontalis inferior  	(faisceau occipitofrontal inférieur 
		14215	systema longitudinale medium  	système longitudinal moyen  
		14222	fasciculus longitudinalis medius  	faisceau longitudinal moyen  
		14216	systema longitudinale basale  	système longitudinal basique  
77632		6271	fasciculus longitudinalis inferior  	faisceau longitudinal inférieur  
		14217	systema longitudinale mesiale  	système longitudinal mésial  
260761		6270	cingulum  	cingulum  
		14218	systema transversum anterius  	système transverse antérieur  
		9510↓	fasciculus frontalis obliquus  	faisceau frontal oblique  
		14219	systema transversum posterius  	système transverse postérieur  
83457		11830	fasciculus temporoparietalis verticalis  	faisceau temporopariétal vertical  
		14220	fibrae associationis lobares  	fibres d'association lobaire  
		9511	fasciculus frontalis orbitopolaris  	faisceau frontal orbitopolaire  
		9512	fasciculus frontomarginalis  	faisceau frontomarginal  
		6278↓	fasciculi occipitales verticales  	faisceaux occipitaux verticaux  
		6279	fibrae laterales  	fibres latérales  
		6280	fibrae caudales  	fibres caudales  
		6281	fasciculi occipitales horizontales  	faisceaux occipitaux horizontaux  
		6282	fibrae cuneatae  	fibres cunéiformes  
		6283	fibrae linguales  	fibres linguales  
61959		6266	capsula externa (par) 	capsule externe (paire) 
		8522	tractus commissurales originis cerebri; tractus commissurales cerebri 	voies commissurales d'origine dans le télencéphale; voies commissurales du cerveau  
		6285	fibrae corporis callosi  	fibres du corps calleux 
77693		6085	radiatio corporis callosi  	radiation du corps calleux  
61944		6086	forceps minor  ; forceps frontalis 	forceps mineur  ; forceps frontal  
61949		6087	forceps major  ; forceps occipitalis 	forceps majeur  ; forceps occipital  
77208		6088	tapetum  	tapetum  
61970		6286↓	commissura hippocampi  ; psalterium 	commissure de l'hippocampe  ; psaltérium  
61961		5799	commissura anterior  	commissure antérieure  
61963		6089	pars anterior commissurae anterioris  	partie antérieure de la commissure antérieure  
61964		6090	pars posterior commissurae anterioris  	partie postérieure de la commissure  

	8524		tractus descendentes originis cerebri	
77637	9509↓		fasciculus subcallosus	
84379	6193		fasciculus peduncularis descendens	
	13173		fasciculus angularis	
	9395		tractus perforans	
	9544		fibrae corticostriatales	
	8525		fibrae corticothalamicae	
	6256		fibrae occipitotectales	
72634	8526		tractus pyramidalis	
	9196		tractus corticorubralis	
	8528		tractus corticoreticularis	
	12525		tractus corticonuclearis	
	8527		tractus corticospinalis	
	12543		tractus corticopontini	
	8532		fibrae frontopontinae	
	8535		fibrae parietopontinae	
	8536		fibrae temporo-pontinae	
	8534		fibrae occipitopontinae	
18661	6265		corona radiata (par)	
61841	6168↓		corpus amygdaloideum (par); ERR1; amygdala (par)	
	9547		nuclei basolaterales (par)	
68855	6173		nucleus basalis lateralis amygdalae (par)	
68858	6174		nucleus basalis medialis amygdalae (par)	
77606	6169		area transitionis amygdaloclaustralis (par)	
61866	6178		nucleus lateralis amygdalae (par)	
	9579		nuclei centromediales (par)	
74047	6175		nucleus centralis amygdalae (par)	
74046	6179		nucleus medialis amygdalae (par)	
	9580		nuclei intercalati amygdalae (par)	
	9581		area transitionis amygdalostriatalis (par)	
	9582		amygdala extensa (par)	
61884	6185↓		nucleus striae terminalis (par)	
	9123		divisio lateralis nuclei striae terminalis (par)	
	9124		divisio medialis nuclei striae terminalis (par)	
77609	6186		pars sublenticularis amygdalae (par)	
77699	6177		nucleus interstitialis amygdalae (par); ERR1	
	9583↓		amygdala olfactoria (par)	
61861	6172		area amygdaloidea anterior (par)	
	9846		nucleus corticalis anterior amygdalae (par)	
	9847		nucleus corticalis posterior amygdalae (par)	
	9848		nucleus corticalis ventralis amygdalae (par)	
61865	6180		nucleus tractus olfactorii lateralis (par)	
77607	6170		area transitionis amygdalohippocampalis (par)	

			antérieure
			voies descendantes d'origine cérébrale
			faisceau souscallosus
			faisceau pédonculaire descendant
			faisceau angulaire
			voie perforante
			fibres corticostriées
			fibres corticothalamiques
			fibres occipitotectales
			voie pyramidale
			voie corticorubrique
			voie corticoréticulée
			voie corticonucléaire
			voie corticospinale
			voies corticopontiques
			fibres frontopontiques
			fibres pariétopontiques
			fibres temporo-pontiques
			fibres occipitopontiques
			corona radiata (paire)
			corps amygaloïde (paire); agrégat amygaloïde (paire); amygdale (paire)
			noyaux basilatéraux (paire)
			noyau basique latéral de l'amygdale (paire)
			noyau basique médial de l'amygdale (paire)
			aire du claustrum du corps amygdaloïde (paire)
			noyau latéral de l'amygdale (paire)
			noyaux centromédiaux (paire)
			noyau central de l'amygdale (paire)
			noyau médial de l'amygdale (paire)
			noyaux intercalés de l'amygdale (paire)
			aire de transition amygdalostriée (paire)
			corps amygaloïde étendu (paire)
			noyau de la strie terminale (paire)
			division latérale du noyau de la strie terminale (paire)
			division médiale du noyau de la strie terminale (paire)
			partie souslenticulaire de l'amygdale (paire)
			noyau interstitiel de l'amygdale (paire); noyau interstitiel de la partie postérieure de la commissure antérieure (paire)
			corps amygdaloïde olfactif (paire)
			aire amygdaloïde antérieure (paire)
			noyau cortical antérieur de l'amygdale (paire)
			noyau cortical postérieur de l'amygdale (paire)
			noyau cortical ventral de l'amygdale (paire)
			noyau de la strie olfactive latérale (paire)
			aire de transition amygdalohippocampique (paire)

77608		6171	area transitionis amygdalopiriformis (par) Ⓢ	aire de transition amygdalopiriforme (paire) Ⓢ
62485		6181	cortex periamygdaloideus (par) Ⓢ	cortex périamygdaloïde (paire) Ⓢ
		8786	substantia alba corporis amygdaloidei (par) Ⓢ	matière blanche du corps amygdaloïde (paire) Ⓢ
		8525	fibrae corticothalamicae Ⓢ 	fibres corticothalamiques Ⓢ 
61974		6111	stria terminalis Ⓢ 	strie terminale Ⓢ 
		8544	fasciculus amygdalofugalis ventralis Ⓢ 	faisceau amygdalofugal ventral Ⓢ 
		8126	fibrae amygdalotegmentales Ⓢ 	fibres amygdalotegmentales Ⓢ 
77616		6230↓	subpallium (par) Ⓢ	souspallium (paire) Ⓢ
77618		6231	striatum (par) Ⓢ	striatum (paire) Ⓢ
83684		6233	pallidum (par) Ⓢ	pallidum (paire) Ⓢ
		9545	area diagonalis (par) Ⓢ	aire diagonale (paire) Ⓢ
62313		5785	area preoptica (par) Ⓢ	aire préoptique (paire) Ⓢ
		6216	nuclei basales (par) Ⓢ	noyaux basiques (paire) Ⓢ
61833		6217	nucleus caudatus (par) Ⓢ	noyau caudé (paire) Ⓢ
61852		6218	caput nuclei caudati (par) Ⓢ	tête du noyau caudé (paire) Ⓢ
61853		6219	corpus nuclei caudati (par) Ⓢ	corps du noyau caudé (paire) Ⓢ
61854		6220	cauda nuclei caudati (par) Ⓢ	queue du noyau caudé (paire) Ⓢ
77615		6221	nucleus lentiformis (par) Ⓢ; ERR1	noyau lentiforme (paire) Ⓢ; noyau lenticulaire (paire) Ⓢ
61834		6222	putamen (par) Ⓢ	putamen (paire) Ⓢ
62469		6223	lamina medullaris lateralis Ⓢ; lamina medullaris externa Ⓢ 	lame médullaire latérale Ⓢ; lame médullaire externe Ⓢ 
61839		6224	globus pallidus lateralis (par); ERR1	pallidum latéral (paire); globe pallidal externe (paire) Ⓢ
62470		6225	lamina medullaris medialis Ⓢ; lamina medullaris interna Ⓢ 	lame médullaire médiale Ⓢ; lame médullaire interne Ⓢ 
61840		6226	globus pallidus medialis (par); ERR1	pallidum médial (paire); globe pallidal interne (paire) Ⓢ
		6227	pars lateralis (par) Ⓢ	partie latérale (paire) Ⓢ
62471		6228	lamina medullaris accessoria (par) Ⓢ	lame médullaire accessoire (paire) Ⓢ
		6229	pars medialis (par) Ⓢ	partie médiale (paire) Ⓢ
		9839	substantia grisea striati (par) Ⓢ	matière grise du striatum (paire) Ⓢ
77620		6232	striatum dorsale (par) Ⓢ	striatum dorsal (paire) Ⓢ
		9840↓	substantia grisea nuclei caudati (par) Ⓢ	matière grise du noyau caudé (paire) Ⓢ
		9841	striosoma (par) Ⓢ	striosome (paire) Ⓢ
		9842	matrix striatalis (par) Ⓢ	matrice striée (paire) Ⓢ
		6240	pontes grisei caudolenticulares (par) Ⓢ; ERR1	ponts gris caudolenticulaires (paire) Ⓢ; ponts gris transcapsulaires (paire) Ⓢ
77614		6205	striatum ventrale (par) Ⓢ	striatum ventral (paire) Ⓢ
		9844↓	fundus striati (par) Ⓢ	fond du striatum (paire) Ⓢ
61889		6206	nucleus accumbens (par) Ⓢ	noyau accumbens (paire) Ⓢ
77385		6207	pars centralis (par) Ⓢ	partie centrale (paire) Ⓢ; région nucléaire (paire)
77386		6208	pars medialis (par) Ⓢ	partie médiale (paire) Ⓢ
61891		6199	tuberculum olfactorium (par) Ⓢ	tubercule olfactif (paire) Ⓢ
		6194	insulae olfactoriae (par) Ⓢ; ERR1	îlots olfactifs (paire); îlots terminaux (paire)
		9852↓	neura striati (par) Ⓢ	neurones du striatum (paire) Ⓢ
		9853	neura projectionis striati (par) Ⓢ; ERR1	neurones de projection du striatum (paire) Ⓢ; neurones principaux du striatum (paire) Ⓢ
		8791	neura spinosa magnitudinis mediae striati (par)	neurones épineux de taille moyenne du striatum (paire)
		8792	interneura striati (par) Ⓢ	interneurones du striatum (paire) Ⓢ

8794		interneurona excitatoria striati (par)	interneurones excitateurs du striatum (paire)
8795		interneurona cholinergica striati (par)	interneurones cholinergiques du striatum (paire)
8797↓		interneurona inhibitoria striati (par)	interneurones inhibiteurs du striatum (paire)
8799		interneurona GABAergica striati (par)	interneurones GABAergiques du striatum (paire)
9845		substantia grisea pallidi (par)	matière grise du pallidum (paire)
77619	6234	pallidum dorsale (par) ; ERR1	pallidum dorsal (paire); globe pallidal (paire)
	9145	pallidum ventrale (par)	pallidum ventral (paire)
	8800	neura globi pallidi (par)	neurones du globe pallidal (paire)
	8801	neura projectionis globi pallidi (par) ; ERR1	neurones de projection du globe pallidal (paire) ; neurones principaux du globe pallidal (paire)
	8804	neura magna globi pallidi (par)	grands neurones du globe pallidal (paire)
	8805	substantia alba nucleorum basalium (par)	matière blanche des noyaux basaux (paire)
	8806	tractus striatales (par)	voies striées (paire)
61960	6267↓	capsula extrema	capsule extrême
61959	6266	capsula externa	capsule externe
77637	9509↓	fasciculus subcallosus	faisceau souscallosus
62070	5874	ansa lenticularis	anse lenticulaire
61976	5875	fasciculus lenticularis	faisceau lenticulaire
77525	5888	fasciculus subthalamicus	faisceau subthalamique
62065	5890	fasciculus thalamicus	faisceau thalamique
	8807	connexus striatales (par)	connexions striées (paire)
	8808	connexus afferentes striatales (par)	connexions afférentes striées (paire)
	9544	fibrae corticostriatales	fibres corticostriées
	8543	fibrae amygdalostriatales	fibres amygdalostriées
	7918	fibrae thalamostriatales	fibres thalamostriées
	8485	fibrae nigrostriatales	fibres nigrostriées
	8809	connexus efferentes striatales (par)	connexions efférentes striées (paire)
	8546	fibrae striatopallidales	fibres striatopallidales
	8118	fibrae striatonigrales	fibres striatonigrales
	8810	connexus pallidales (par)	connexions pallidales (paire)
	8811	connexus pallidales afferentes (par)	connexions pallidales afférentes (paire)
	8546	fibrae striatopallidales	fibres striatopallidales
	7922	fibrae subthalamopallidales	fibres subthalamopallidales
	8812	connexus pallidales efferentes (par) ; fibrae pallidofugales (par)	connexions pallidales efférentes (paire)
	8547	fibrae pallidosubthalamicae	fibres pallidosubthalamiques
	8548	fibrae pallidothalamicae	fibres pallidothalamiques
	8549	fibrae pallidohabenuales	fibres pallidohabénulaires
	8550	fibrae pallidonigrales	fibres pallidonigrales
	8551	fibrae pallidotegmentales	fibres pallidotegmentales
77700	6167↓	pars basalis telencephali proprii (par)	partie basique du télencéphale (paire)
61887	6183	substantia basalis (par)	substance basique (paire)
61887	6184	nucleus basalis (par)	noyau basique (paire)
	9849	cellulae cholinergicae substantiae basalis (par)	cellules cholinergiques de la substance basique (paire)
	6316	cellulae cholinergicae nuclei septalis medialis (par) ; ERR1	cellules cholinergiques du noyau septal médial (paire) ; cellules cholinergiques Ch1 (paire)
		cellulae cholinergicae cruris verticalis	cellules cholinergiques du pédoncule

		6317	striae diagonalis (par) ; ERR1	vertical de la bandelette diagonale (paire) ; cellules cholinergiques Ch2 (paire)
		6318	cellulae cholinergicae cruris horizontalis striae diagonalis (par) ; ERR1	cellules cholinergiques du pédoncule horizontal de la bandelette diagonale (paire) ; cellules cholinergiques Ch3 (paire)
		6319	cellulae cholinergicae nuclei basalis (par) ; ERR1	cellules cholinergiques du noyau basique (paire) ; cellules cholinergiques Ch4 (paire)
61884		6185↓	nucleus striae terminalis	noyau de la strie terminale
77609		6186	pars sublenticularis amygdalae	partie souslentulaire de l'amygdale
61973		6188	stria diagonalis (par)	bandelette diagonale (paire)
77611		6189	crus horizontale striae diagonalis (par)	pédoncule horizontal de la bandelette diagonale (paire)
77612		6190	crus verticale striae diagonalis (par)	pédoncule vertical de la bandelette diagonale (paire)
61882		6191	nucleus striae diagonalis (par)	noyau de la bandelette diagonale (paire)
61885		6192	substantia innominata (par)	substance innominée (paire)
		6209	nuclei septales (par)	noyaux septaux (paire)
61877		6210	nucleus septalis dorsalis (par)	noyau septal dorsal (paire)
61878		6211	nucleus septalis lateralis (par)	noyau septal latéral (paire)
61879		6212	nucleus septalis medialis (par)	noyau septal médial (paire)
77547		6101	nucleus septalis precommissuralis (par)	noyau septal précommissural (paire)
61881		6213	nucleus septofimbrialis (par)	noyau septofimbrial (paire)
61880		6214	nucleus septalis triangularis (par)	noyau septal triangulaire (paire)
		8623	nuclei areae preoptici (par)	noyaux de l'aire préoptique (paire)
62326		5915	nucleus preopticus lateralis (par)	noyau préoptique latéral (paire)
67890		5916	nucleus preopticus medialis (par)	noyau préoptique médial (paire)
62323		5917	nucleus preopticus medianus (par)	noyau préoptique médian (paire)
62324		5919	nucleus preopticus periventricularis (par)	noyau préoptique périventriculaire (paire)
		8624↓	nucleus preopticus ventrolateralis (par)	noyau préoptique ventrolatéral (paire)
		5914	nuclei interstitiales (par)	noyaux interstitiels (paire)
		8625	nucleus dimorphus sexualis (par)	noyau dimorphique sexuel (paire)
		8626	cellulae dopaminergicae areae preoptici (par) ; ERR1	cellules dopaminergiques de l'aire préoptique (paire) ; cellules dopaminergiques A15 (paire)

699 lines

SCIENTIFIC NOTES

UID Libelle of note

- 5971 Some new items have been added from *ten Donkelaar HJ, Tzourio-Mazoyer N, Mai JK (2018) Toward a common terminology for the gyri and sulci of the human cerebral cortex. Front Neuroanat 12:93.*
- 5972 The Pallium has four components of which the Pallium dorsale gives rise to the Isocortex (Neocortex), the Pallium laterale to the Claustrinsular complex, the Pallium mediale to the Formatio hippocampi, and the Pallium ventrale to the Olfactory cortex and the Pallial amygdala (see TE, Section Neuroembryology).
- 5992 For the Polus frontalis (Frontal pole) and its subdivision, see Petrides M, Pandya DN (2012 The frontal lobe. In: Mai JK, Paxinos G, eds: The Human Nervous System, 3rd ed. Elsevier, Amsterdam, pp 988-1011; Bludau S, Eickhoff SB, Mohlberg H, et al. (2014) Cytoarchitecture, probability maps and functions of the human frontal pole. Neuroimage 93:260-275.
- 5996 For subdivision of Broca's area, see Amunts K, Schleicher A, Bürgel U, et al. (1999 Broca's region revisited: Cytoarchitecture and intersubject variability. J Comp Neurol 412:319-341). The Sulcus diagonalis (of Eberstaller) is a variable branch of the Sulcus lateralis, dividing the Pars opercularis into two parts. The Sulcus radiatus (of Eberstaller) may indent the Pars triangularis from above.
- 6005 See note # 6006
- 6006 The Angular and supramarginal gyri form with the Parietal operculum the Lobulus parietalis inferior (Inferior parietal lobule or IPL). The Gyrus angularis (Angular gyrus; BA39) can be further subdivided (see Caspers S, Amunts K, Zilles K 2012 Posterior parietal cortex. In: Mai JK, Paxinos G, eds: The Human Nervous System, 3rd ed. Elsevier, Amsterdam, pp 1036-1035). The Operculum parietale (Parietal operculum) contains four cytoarchitectonic, functionally defined areas OP1-4 (see Eickhoff S, Schleicher A, Zilles K, Amunts K 2006a The human parietal operculum. I. Cytoarchitectonic mapping of subdivisions. Cereb Cortex 16:254-267; Eickhoff S, Amunts K, Mohlberg H, Zilles K 2006b Stereotaxic maps and correlation with functional imaging results. Cereb Cortex 16:268-279). The

Gyrus supramarginalis (Supramarginal gyrus; BA40) can be further subdivided (see Caspers et al. 2012).

6007 See note # 6006

In monkeys, the Intraparietal sulcus contains numerous intraparietal areas (AIP, LIP, MIP, PIP and VIP), area PEip and area V6A (Rizzolatti G, Luppino G, Matelli M 1998 The organization of the cortical motor system: New concepts. *Electroencephalogr Clin Neurophysiol* 106:283-296). In the human brain, at least AIP and VIP areas have been identified (Seitz RJ, Binkofski F 2003 Modular organization of parietal lobe functions as revealed by functional activation studies. *Adv Neurol* 93:281-292).

6008

The Lobulus parietalis superior (Superior parietal lobule or SPL) can be divided into a Preparietal area (BA5 with subdivisions) and a Superior parietal area (BA7 with subdivisions; see Scheperjans F, Eickhoff SB, Mohlberg H, et al. 2008 Probabilistic maps, cytoarchitectonic morphometry, and variability of areas in human superior parietal cortex. *Cereb Cortex* 18:2141-2157).

6011

6012 See note # 6006

The Gyrus temporalis superior (Superior temporal gyrus; BA22) is not a homogeneous cortical area; it contains various cytoarchitectonically and functionally distinct cortical areas. Its Pars anterior (Anterior part or Belt area) forms the Secondary auditory cortex (BA42 or A2; see Morosan P, Rademacher J, Schleicher A, et al. 2001 Human primary auditory cortex: Cytoarchitecture, subdivisions and mapping into a spatial reference system. *Neuroimage* 13:684-701; Zilles and Amunts 2012). Its Pars posterior (Posterior part or Wernicke's area) is a loosely defined region which comprises the Posterior part of BA22 but also parts of the Inferior parietal lobule.

6019

6020 See note # 6019

The Dorsal part of the Gyrus temporalis superior contains three Sulci temporales transversi (Transverse temporal sulci): the Planum polare (Polar plane) is separated from the Transverse temporal gyri of Heschl by the Sulcus temporalis transversus anterior (Anterior transverse temporal sulcus), the Gyri temporales transversi (Transverse temporal gyri) are subdivided by the Sulcus temporalis transversus intermedius (Intermediate transverse temporal sulcus), and the Planum temporale (Temporal plane) is separated from the Posterior transverse temporal gyrus by the Sulcus temporalis transversus posterior (Posterior transverse temporal sulcus or Heschl's sulcus; see Duvernoy 1992).

6021

6024 See note # 6021

For the Inferomedial aspect of the Temporal lobe, usually the terms Gyrus temporalis inferior (T3), Gyrus fusiformis (T4) and Gyrus parahippocampalis (T5) are used, separated by the Occipitotemporal and the Collateral sulci.

6029

6030 See note # 9188

The following Gyri orbitales can be distinguished: 1) the Gyrus orbitalis medialis, the gyrus between the olfactory sulcus and the medial orbital sulcus; 2) the Gyrus orbitalis anterior, the cortex rostral to the transverse orbital sulcus; 3) the Gyrus orbitalis posterior, the cortex caudal to the transverse orbital sulcus; and 4) the Gyrus orbitalis lateralis, the gyrus lateral to the lateral orbital sulcus. The caudal parts of the medial and posterior orbital gyri merge to form the Lobulus orbitalis posteromedialis as described by Türe U, Yasargil DCH, Al-Mefti O, Yasargil MC (1999 Topographic anatomy of the insular region. *J Neurosurg* 90:720-733) and Naidich TP, Kang E, Fatterpekar GM, et al. (2004 The insula: Anatomic study and MR imaging display at 1.5T. *AJNR Am J Neuroradiol* 25:222-232). Mai and Majtanik (2017 Human Brain in Standard MNI Space. Academic/Elsevier, San Diego) also described a Regio orbitalis posterolateralis.

6052

Lateral to the Sulcus olfactorius, there are two longitudinally directed sulci, the Sulcus orbitalis medialis and the Sulcus orbitalis lateralis, which are joined together by the Sulcus orbitalis transversus to form the impression of an H or a K pattern (Duvernoy 1992; Petrides and Pandya 2012). The cingulate sulcus continues around the rostrum of the corpus callosum, where it is also known as the Sulcus rostralis superior. This sulcus may continue as the Sulcus rostralis inferior, which separates the straight gyrus from the medial surface of the frontal lobe.

6053

The Gyrus cingularis (Cingulate gyrus) can at least be divided into an Anterior, a Posterior and a Retrosplenial part. Vogt BA, Palomero-Gallagher N (2012 Cingulate cortex. In: Mai JK, Paxinos G, eds: *The Human Nervous System*, 3rd ed. Elsevier, Amsterdam, pp 943-987) added a Midcingulate cortex.

6067

6069 See note # 8762

The Uncus is treated in various ways: 1) as the rostral part of the Parahippocampal gyrus; 2) as a structure on its own. TNA suggests the latter. Insausti R and Amaral DG (2012 Hippocampal formation. In: Mai JK, Paxinos G, eds: *The Human Nervous System*, 3rd ed. Elsevier, Amsterdam, pp 896-942) advocated to restrict the term Uncus to the Gyrus uncinatus, the Band or limb of Giacomini and the Gyrus intralimbicus (or Uncal apex). The Sulcus semianularis (Semi-anular sulcus) separates the Ambient and Semilunar sulci (see Duvernoy HM 1992, 1998 *The Human Hippocampus*, 2nd ed. Springer, Berlin-Heidelberg-New York). The Gyrus uncinatus is the most rostral part of Uncal bulge, according to Insausti and Amaral (2012) and part of field CA1. The Limbus fasciae dentatae (Band of dentate gyrus) is the Middle part of the Uncus, first described by Giacomini CH (1884 *Fascia dentata du grand hippocampe dans le cerveau de l'homme*. *Arch Ital Biol* 5:1-16, 205-209, 396-417) and part of the Dentate gyrus. The Gyrus intralimbicus (Intralimbic gyrus or Uncal apex) is the most caudal part of the Uncal bulge and part of field CA3.

6071

The Archicortex includes the Hippocampus (Ammon's horn, Dentate gyrus and Subiculum), Presubiculum, Parasubiculum, Entorhinal cortex, Retrosplenial cortex and a cortical band in the Cingulate gyrus (Stephan 1975; Zilles K, Amunts K 2012 Architecture of the cerebral cortex. In: Mai JK, Paxinos G, eds: *The Human Nervous System*, 3rd ed. Elsevier, Amsterdam, pp 836-895).

6125

6126 The Paleocortex includes the Olfactory bulb, Retrobulbar region ('Anterior olfactory nucleus'), Olfactory tubercle, Septal and Piriform (BA51) regions and a minor part of the Amygdala (Stephan 1975; Zilles and Amunts 2012).

6128 The Allocortex includes the Paleocortex and the Archicortex (Filimonoff IN 1947 A rational subdivision of the cerebral cortex. *Arch Neurol Psychiatry* 58:296-311; Stephan H 1975 Allocortex. In: Bargmann W (ed) *Handbuch der mikroskopischen Anatomie des Menschen*, Vol 4: Nervensystem, Band 9. Springer).

6129

The Mesocortex (Rose M 1927 *Der Allocortex bei Tier und Mensch*. I. Teil. *J Psychol Neurol (Lpz)* 34:1-11) comprises the Proisocortex, a transition area between the Isocortex and the Allocortex, and the Periallocortex, the adjoining part of the Allocortex (Filimonoff 1947); also known as Paralimbic cortex (Mesulam 1985). The Periallocortex can further be subdivided into the Peripaleocortex (Claustrium) and the Periarchicortex (Entorhinal, Presubicular and Retrosplenial cortices and part of the Cingulate gyrus; Filimonoff 1947; Zilles and Amunts 2012).

Under this Heading the structures presented in TA as Substantia basalis, Substantia innominata and Area septalis are grouped. Reichert's 'Substantia innominata' was for a long time a 'terra incognita' of the Basal forebrain. The extensive studies by Heimer and colleagues (Heimer L, Harlan RE, Alheid GF, et al. 1997 *Substantia innominata: A*

6167

- notion which impedes clinico-anatomical correlations in neuropsychiatric disorders. Neuroscience 76:957-1006; Heimer et al. 1999; Sakamoto et al. 1999) make the term SI more or less superfluous.
- 6168 The Nuclei of the Corpus amygdaloideum (Amygdaloid body) are replaced into groups following de Olmos JS (2004 Amygdala. In Paxinos G, Mai JK, eds: The Human Nervous System, 2nd ed. Elsevier, Amsterdam, pp 739-868) and Mai JK, Paxinos G, Voss T (2008 Atlas of the Human Brain, 3rd ed. Elsevier, Amsterdam).
- 6182 See note # 8686
- 6185 The Nucleus striae terminalis (Bed nucleus of the stria terminalis) can be subdivided into various subnuclei, the best known are the Lateral and Medial divisions (see Heimer L, de Olmos J, Alheid GF, et al. 1999 The human basal forebrain, Part 1. Handb Chem Neuroanatomy 15:57-226; Sakamoto N, Pearson J, Shinoda K, Alheid GF 1999 The human basal forebrain, Part 1. Handb Chem Neuroanat 15:1-55).
- 6187 Traditionally, the Claustrum is divided into a Dorsal (Insular) claustrum, connected with the Isocortex, and a Ventral (Piriform) claustrum or Endopiriform nucleus, connected with the Allocortex (see Druga R 2014 The structure and connections of the claustrum. In: Smythies JR, Edelman LR, Ramachandran VS, eds: The Claustrum, Academic Press, San Diego, CA, pp 29-84).
- 6230 The Subpallium develops from four Developmental domains (see Puelles L, Harrison M, Paxinos G, Watson C 2013 A developmental ontology for the mammalian brain based on the prosomeric model. Trends Neurosci 36:570-578). Traditionally, the Preoptic area is discussed together with the Hypothalamus. The Amygdala arises from all four Subpallial domains as well as from the Pallium ventrale.
- 6254 The Pars retrolentiformis of the Internal capsule should be treated as a separate component, not as part of the Posterior limb; Crus retrolentiforme suggested as synonym. The Pars sublentiformis also forms a separate component of the Internal capsule; Crus sublentiforme suggested as synonym.
- 6259 See note # 6254
- 6267 The Capsula extrema (Extreme capsule) forms one of the Long association systems involved in language processing (see Catani M, Thiebaut de Schotten M 2012 Atlas of Human Brain Connections. Oxford University Press, Oxford).
- 6269 Although in the Fasciculus arcuatus (Arcuate fasciculus) three segments (anterior, long and posterior) were distinguished (Cayani M, Jones DK, ffytche DH 2005 Perisylvian language pathways. Ann Neurol 57:8-16), more recent research showed that the anterior segment belongs to the superior longitudinal fasciculus and the posterior segment is in reality separate and was renamed Fasciculus temporoparietalis verticalis (temporoparietal vertical or aslant tract), leaving the long segment as the true arcuate fasciculus (Fernandez-Miranda JC, Wang Y, Pathak S, et al. 2015 Asymmetry, connectivity, and segmentation of the arcuate fascicle in the human brain. Brain Struct Funct 220:3665-3680)
- 6272 The Fasciculus longitudinalis superior (Superior longitudinal fasciculus) appears to be composed of three bundles (SLFI-III or Superior, Middle and Inferior; Makris N, Kennedy DN, McInerney S, et al. 2005 Segmentation of subcomponents within the superior longitudinal fascicle in humans: A quantitative, in vivo, DT-MRI study. Cereb Cortex 15:854-869) as in monkeys (Schmahmann JD, Pandya DN 2006 Fiber Pathways of the Brain. Oxford University Press, New York; Thiebaut de Schotten M, Dell'Acqua F, Valabreque R, Catani M 2012 Monkey to human comparative anatomy of the frontal lobe association tracts. Cortex 48:82-96).
- 6273 Here, the new nomenclature for the long association fibres of the cerebrum is advocated as proposed by Mandonnet E, Sarubbo S, Petit L (2018 The nomenclature of human white matter association pathways: Proposal for a systematic taxonomic anatomical classification. Front Neuroanat 12:94).
- 6274 The Fibrae U-figuratae (U-shaped fibres) were first described by Meynert (1872), and replaced the term Fibrae arcuatae cerebri (Arnold 1838) that became obsolete.
- 6278 Recently, the Fasciculus temporoparietalis verticalis (Temporoparietal aslant tract) was demonstrated, replacing the vertical segment of the arcuate fasciculus (Panesar SS, Belo JT, Yeh F-C, Fernandez-Miranda JC 2019 Structure, asymmetry, and connectivity of the human temporo-parietal aslant and vertical occipital fasciculi. Brain Struct Funct 224:907-923; see also 6273).
- 6286 (Commissura hippocampi): The old term Psalterium has been added; much in use by clinicians; for a study on the cells of origin of commissural connections of the monkey hippocampal formation, see Amaral DG, Insausti R, Cowan WM (1984) The commissural connections of the monkey hippocampal formation. J Comp Neurol 224:307-336.
- 8539 The Via endofolialis (Endfolial pathway) is composed of Hilar Schaffer collaterals from CA3h (see Lim C, Mufson EJ, Kordower JH, et al. 1997 Connections of the hippocampal formation in humans. II. The endfolial pathway. J Comp Neurol 385:352-371).
- 8624 The Nucleus preopticus ventrolateralis is a recently discovered Preoptic nucleus, a sleep-promoting nucleus (Saper CB, Chou TC, Scammell TE 2001 The sleep switch: Hypothalamic control of sleep and wakefulness. Trends Neurosci 24:726-731).
- 8659 The Sulcus frontomarginalis (Frontomarginal sulcus of Wernicke) is an important landmark in the frontal polar region (Duvernoy HM 1992 Le cerveau humain. Springer, Paris; Tamraz JC, Comair YG 2006 Atlas of Regional Anatomy of the Brain Using MRI. Springer, Berlin-Heidelberg-New York), and used as such in the DTI literature (Catani M, Thiebaut de Schotten M 2012 Atlas of Human Brain Connections. Oxford University Press, Oxford).
- 8663 The various Motor areas of the Frontal lobe are known as F1-F7 in monkey brains (see Geyer G, Luppino L, Rozzi G 2012 Motor cortex. In: Mai JK, Paxinos G, eds: The Human Nervous System, 3rd ed. Elsevier, Amsterdam, pp 1012-1035): F1 is the Primary motor cortex, F2 the Caudal part of the Cortex premotorius dorsalis, F3, the the Caudal part of the Cortex premotorius medialis (SMA proper), F4 the Caudal part of the Cortex premotorius ventralis, F5 the Rostral part of the Cortex premotorius ventralis, F6 the Rostral part of the Cortex premotorius medialis (Pre-SMA), and F7 the Rostral part of the Cortex premotorius dorsalis.
- 8664 See note # 8663
- 8665 See note # 8663
- 8666 Usually, the Sulcus centralis does not reach the Sulcus lateralis and is separated from it by a short gyrus, the Gyrus subcentralis, which is formed by the 'fusion' of the Precentral and Postcentral gyri in their ventralmost parts. The Subcentral gyrus is delimited in front and behind by the Anterior and Posterior subcentral sulci (Dejerine 1895; Duvernoy 1992; Petrides and Pandya 2012). Also known as: Central or Rolandic operculum, and Inferior frontoparietal 'pli de passage'.
- 8667 See note # 8666

- 8668 See note # 8666
- 8671 See note # 8663
- 8672 See note # 8663
- 8675 See note # 6052
- 8676 See note # 6052
- 8677 See note # 6052
- 8678 See note # 6052
- 8679 See note # 6053
- 8680 See note # 6053
- 8681 See note # 6053
- 8686 The term Nucleus olfactorius anterior of TA is mostly cortical and is replaced by the more appropriate term Regio retrobulbaris (see Zilles and Amunts 2012). The two- or three-layered structure recognizable in lower primates is hardly visible in the human brain.
- 8706 See note # 6019
- 8708 See note # 6019
- 8714 The Cortex ectorhinalis (BA36) is often included as part of the Perirhinal cortex (Ding S-L, Van Hoesen GW 2010 Borders, extent, and topography of human perirhinal cortex as revealed using multiple modern neuroanatomical and pathological markers. *Hum Brain Mapp* 31:1359-1379) but lies on the other side of the Collateral sulcus.
- 8719 The Cortex perirhinalis (Perirhinal cortex) is also not included in TA; for description, see Augustinack JC, Huber KE, Stevens AA, et al. (2013 Predicting the location of human perirhinal cortex, Brodmann's area 35, from MRI. *Neuroimage* 64:32-42).
- 8724 Field CA4 appears to correspond most closely to the polymorph zone of the Dentate gyrus, and, therefore, is not a field of the Hippocampus at all. Amaral and Insausti (Amaral DG, Insausti R 1990 Hippocampal formation. In: Paxinos G, ed: *The Human Nervous System*. Academic Press, San Diego, CA, pp 711-755) suggested the term 'CA3h' for the pyramidal cells within the hilus ('h'), continuous with CA3.
- 8734 See note # 6071
- 8735 See note # 6071
- 8736 See note # 6071
- 8737 See note # 6071
- 8738 See note # 6071
- 8739 In the French literature, for the Inner ring of the Limbic lobe the term Gyrus intralimbicus is used. In the German literature, however, this term is used for the Uncal apex.
- 8740 The Cortex entorhinalis (Entorhinal cortex) is not included in TA; for description, see Braak H, Braak E (1992 The human entorhinal cortex: Normal morphology and lamina-specific pathology in various diseases. *Neurosci Res* 15:6-31. The Substantia reticularis alba (White reticular substance of Arnold) is the white matter surrounding the darker patches of Layer 2 cell islands. The Verrucae hippocampi (Hippocampal warts) are located above these cell islands and described by Retzius G (1896 *Das Menschenhirn: Studien in der makroskopischen Morphologie*. Norstedt, Stockholm) and Klingler J (1948 *Die makroskopische Anatomie der Ammonsformation*. *Denkschr Schweiz Naturforsch Ges*, Vol 78, Fretz, Zürich). They mark the surface of the Entorhinal cortex.
- 8742 See note # 8740
- 8756 The Sulcus intrarhinalis (Intrarhinal sulcus) is found between the Ambient gyrus and the Entorhinal cortex (see Duvernoy 1992; Insausti and Amaral 2012).
- 8757 See note # 8762
- 8762 The Dentes subiculi (Gyri of Andreas Retzius) were described by Retzius (1896) for the Caudal part of CA1 at the Hippocampal tail; the term Gyri subspleniales (Subsplenial gyri) indicate their position. Deep to the Gyri andreae retzii, two obliquely oriented small gyri are found (Duvernoy 1998; Insausti and Amaral 2012): 1) a medial gyrus: the Fasciola cinerea, which forms the visible part of the Dentate gyrus as described by Giacomini (1884) and Klingler (1948); and 2) a lateral gyrus: Gyrus fasciolaris (Fasciolar gyrus), corresponding to the caudal end of the CA3 field.
- 8768 The Cortex perirhinalis (Perirhinal cortex; BA35) and the Transentorhinal subregion of Braak and Braak (1992) are somewhat synonymous terms (Augustinack JC, Huber KE, Stevens AA, et al. 2013 Predicting the location of human perirhinal cortex, Brodmann's area 35, from MRI. *Neuroimage* 64:32-42). In other studies (Ding S-L, Van Hoesen GW 2010 Borders, extent, and topography of human perirhinal cortex as revealed using multiple modern neuroanatomical and pathological markers. *Hum Brain Mapp* 31:1359-1379), BA 36 is included within the Perirhinal cortex. This is unfortunate since BA35 is periarhinal cortex but BA36 (Ectorhinal cortex) is truly isocortex. The Layers of BA35 are comparable to those of the adjacent Entorhinal cortex.
- 8780 See note # 5996
- 8781 The Sulcus intermedius primus (First intermediate sulcus of Jensen) may subdivide the Lobulus parietalis inferior into the Gyrus supramarginalis and the Gyrus angularis (Duvernoy 1992; Tamraz and Comair 2006). The Sulcus intermedius secundus (Second intermediate sulcus of Eberstaller) is found posterior to Jensen's sulcus.
- 8782 See note # 8781
- 8793 See note # 5972
- 8797 The large cholinergic neurons of the Striatum were originally described as Giant interneurons by Kölliker. Three types of GABAergic striatal interneurons can be distinguished, based on size and the colocalization of Parvalbumin, Somatostatin/NPY and Calretinin (Bolam 2010; Haber et al. 2012).
- 8798 See note # 5972
- 8820 Mainly GABAergic interneurons (see Markram H, Toledo-Rodriguez M, Wang Y, et al. 2004 Interneurons of the neocortical inhibitory system. *Nat Rev Neurosci* 5:793-807; Ascoli GA et al. 2008 Petilla terminology: Nomenclature of features of GABAergic interneurons of the cerebral cortex. *Nat Rev Neurosci* 9:557-568; DeFelipe J et al. 2013 New insights into the classification and nomenclature of cortical GABAergic interneurons. *Nat Rev Neurosci* 14:202-216);

- the current subdivision is based on preferred postsynaptic region.
- 8826 See note # 5972
- 8827 See note # 5972
- 8830 Functional subdivision of the Isocortex as described by Mesulam M-M (1985 Patterns in behavioral neuroanatomy. In: Mesulam M-M, ed: Principles of Behavioral Neurology. Davis, Philadelphia, PN, pp 1-70). The Granular isocortex ranges from Hypergranular through Granular to Dysgranular.
- 9122 The Lobulus parietalis superior may be divided into an anterior and a posterior portion by the Sulcus parietalis transversus (Transverse parietal sulcus of Brissaud), originating on the medial side and extending to the lateral side of the hemisphere (see Tamraz and Comair 2006).
- 9135 Here, the Isocortical neurons are added, in part following and modifying TH terms. They are subdivided into Pyramidal neurons (Projection, Commissural and Association neurons) and Excitatory and Inhibitory interneurons. In general, Small pyramidal neurons are found in Layer II and give rise to ipsilateral Corticocortical projections. Medium-sized pyramidal neurons are found in Layer III and give rise to Commissural projections. The Large pyramidal neurons in Layer V give rise to the Corticofugal projections (Mountcastle VB 1998 The Cerebral Cortex. Harvard University Press, Cambridge, MA).
- 9180 The Pallium laterale gives rise to the Claustrum (see Puelles L 2014 Development and evolution of the claustrum. In: Smythies JR, Edelman LR, Ramachandran VS, eds: The Claustrum, Academic Press, San Diego, CA, pp 119-176).
- 9188 The Insula is composed of three Belt regions (see Mesulam M-M and Mufson EJ (1985 The insula of Reil in man and monkey. Architectonics, connectivity and function. In: Peters A, Jones EG, eds, Cerebral Cortex, Vol 4, Plenum Press, New York, pp 179-226): 1) The Cortex insularis agrularis (Agranular insular cortex, where Layers II and IV are lacking) in the Anterior insula is characterized by a Superficial pyramidal layer and an Inner cell layer, continuous with the Pyramidal layer of the Piriform cortex. Here, the recently rediscovered von Economo neurons (VENs) are found (see Allman JM, Tetreault NA, Hakeem AY, et al. 2011 The von Economo neurons in fronto-insular and anterior cingulate cortex. Ann NY Acad Sci 1225:59-71). 2) The Cortex insularis dysgranularis (Dysgranular insular cortex), a Proisocortical region characterized by the presence of an inconspicuous Inner granular layer IV. Layers V and VI are also not as clearly separated from each other as in true isocortex. 3) The Cortex insularis granularis (Granular insular cortex), a posterior granular region with clearly visible Inner (layer IV) and Outer (layer II) granular layers (True isocortex; see also Zilles and Amunts 2012).
- 9223 See note # 9188
- 9227 See note # 9188
- 9305 The classic Golgi studies by Cajal (Ramón y Cajal S 1909-1911 Histologie du système nerveux de l'homme et des vertébrés. Maloine, Paris) and Lorente de Nó R (1934 Studies on the structure of the cerebral cortex. II. Continuation of the study of the ammonic system. J Psychol Neurol (Lpz) 46:113-177) showed the presence of some 20 different types of interneurons in the Hippocampus. Most of them have been immunohistochemically defined (see Freund TF, Buzsáki G 1996 Interneurons of the hippocampus. Hippocampus 6:347-470; Somogyi P 2010 Hippocampus: Intrinsic organization. In: Shepherd GM, Grillner S, eds: Handbook of Brain Microcircuitry. Oxford University Press, New York, pp 148-164). Some 28 types of GABAergic interneurons can be distinguished (Somogyi 2010), basically: Basket neurons, Bistratified neurons, and Chandelier neurons.
- 9368 There are many types of Short-axon cells described by among others Blanes, Cajal (Vertical cell), Golgi and Van Gehuchten (Mori K 1987) Membrane and synaptic properties of identified neurons in the olfactory bulb. Prog Neurobiol 29:275-430; Shepherd GM, Chen WR, Greer CA 2004 Olfactory bulb. In: Shepherd GM, ed: The Synaptic Organization of the Brain, 5th ed. Oxford University Press, New York, pp 165-216). As in TH, these cells are not included.
- 9417 In the Cortex entorhinalis (Entorhinal cortex), Insausti et al. (Insausti R, Tuñón T, Sobreviela T, et al. 1995 The human entorhinal cortex: A cytoarchitectonic analysis. J Comp Neurol 355:171-198) distinguished 8 subfields (EO, ER, ELR, EMI, EI, ELC, EC and ECL). For the layers of the Entorhinal cortex, the subdivision by Insausti and Amaral (2012) into six Laminae is advocated. To avoid confusion with isocortical layers, here, arabic numerals are used as in the literature. TH Latin and English terms (H4.8.03.104/114) are added. For Layers 2 and 3, the general term External principal layer is advocated, for Layer 5 Internal principal layer, following Braak H, Braak E (1992 The human entorhinal cortex: Normal morphology and lamina-specific pathology in various diseases. Neurosci Res 15:6-31). Layer 2 is made up of islands of relatively large and darkly stained modified pyramidal and stellate cells (Braak and Braak 1992: Pre-a). Layer 3 corresponds to layers Pre-β and Pre-γ of Braak and Braak (1992). The layers Pre-a, Pre-β and Pre-γ form their External principal layer. Layer 5 corresponds to the Internal principal layer with sublayers Pri-a, Pri-β and Pri-γ of Braak and Braak (1992).
- 9433 The complex Cortex retrosplenialis (Retrosplenial cortex) consists of Periarchicortical (BA26) and Proisocortical (BA29, 30) areas (Braak H 1980 Architectonics of the Human Telencephalic Cortex. Springer, Berlin-Heidelberg-New York; Zilles and Amunts 2012). The TH nomenclature (H4.8.03.122/129) seems to combine these different structures. The Cortex ectosplenialis (Ectosplenial cortex; BA26) has a primitive three-laminar pattern with Molecular, Densocellular and Multiform layers. The Cortex retrosplenialis granularis (Granular retrosplenial cortex; BA29) shows a four-layered structure: Molecular, External and Internal pyramidal and Multiform layers. The Cortex retrosplenialis dysgranularis (Dysgranular retrosplenial cortex; BA 30) shows a further progression of laminar differentiation with an additional (Internal) granular layer.
- 9454 For further subdivision of the Cortex cingularis (Cingulate cortex) with Layers, see Vogt BA, Palomero-Gallager N (2012) Cingulate cortex. In: Mai JK, Paxinos G, eds: The Human Nervous System, 3rd ed. Elsevier, Amsterdam, pp 934-987.
- 9459 This term, introduced in 1684 by Vieussens as 'Centrum ovale' to indicate the oval shape of the Cerebral white matter, continuous with the Internal capsule, was later changed into Centrum semiovale by Flatau E (1894 Atlas des menschlichen Gehirns und des Faserverlaufes. Karger, Berlin) and others. In the clinical literature, this term is common usage. It was included by His and colleagues in the BNA.
- 9508 The Pedunculus temporalis (Temporal peduncle) forms the connection between the temporal and frontal lobes and contains: (1) the Fasciculus occipitofrontalis inferior (Inferior occipitofrontal fasciculus); and (2) the Fasciculus uncinatus cerebri (Uncinate fasciculus).
- 9509 The Fasciculus subcallosus (Subcallosal fasciculus or Bundle of Muratoff; Muratoff W 1893 Secundäre Degenerationen nach Durchschneidung des Balkens. Neurol Centralbl 12:714-729) forms a separate bundle of Corticostriatal fibres

(see Schmähmann JD, Pandya DN 2007 The complex history of the fronto-occipital fasciculus. *J Hist Med* 16:362-377).

- 9510 The Fasciculus frontalis obliquus (Frontal aslant tract or Frontal oblique tract) connects the SMA and pre-SMA with the opercular part of the Inferior frontal gyrus (Catani M, Dell'Acqua F, Vergani F, et al. 2012 Short frontal lobe connections of the human brain. *Cortex* 48:273-291).
- 9583 De Olmos (de Olmos J 1990 Amygdala. In: Paxinos G, ed: *The Human Nervous System*. Academic Press, San Diego, CA, pp 583-710) introduced the term 'Olfactory amygdala' for the 'Superficial cortex-like amygdaloid region' (Yilmazer-Hanke DM 2012 Amygdala. In: Mai JK, Paxinos G, eds: *The Human Nervous System*, 3rd ed. Elsevier, Amsterdam, pp 759-834).
- 9840 The Striatum and Putamen consist of AChE-poor Striosomes within an AChE-rich matrix (Graybiel AM, Ragsdale CW Jr 1978 Histochemically distinct compartments in the striatum of human, monkey and cat demonstrated by acetylthiocholinesterase staining. *Proc Natl Acad Sci USA* 75:5723-5726; Graybiel AM 1990 Neurotransmitters and modulators in the basal ganglia. *Trends Neurosci* 13:244-254).
- 9844 The term Fundus striati points to the ventral parts of the Caudate nucleus and Putamen, that with the Nucleus accumbens and the Olfactory tubercle form the Ventral Striatum.
- 9852 For Golgi studies see Braak H, Braak E (1982 Neuronal types in the striatum of man. *Cell Tissue Res* 227:319-342), and Graveland GA, Williams RS, DiFiglia M (1985 A Golgi study of the human neostriatum: Neurons and afferent fibers. *J Comp Neurol* 234:317-333); for immunohistochemical and physiological data see Bolam JP (2010 Microcircuits of the striatum. In: Shepherd GM, Grillner S, eds: *Handbook of Brain Microcircuits*. Oxford University Press, New York, pp 109-119) and Haber SN, Adler A, Bergman H (2012 The basal ganglia. In: Mai JK, Paxinos G, eds: *The Human Nervous System*, 3rd ed. Elsevier, Amsterdam, pp 678-838).
- 12155 In the Regio periamygdaloidea (Periamygdaloid region) according to Brockhaus H (1940 Zur normalen und pathologischen Anatomie des Mandelkerngebietes. *J Psychol Neurol (Lpz)* 49:1-136) and Stephan (1975) only two layers can be distinguished.
- 12158 Frequently, a series of furrows delineates the Sulcus paracinguli (Paracingulate sulcus), which separates the medial division of the superior frontal gyrus from the Gyrus paracinguli (Paracingulate gyrus).
- 12159 See note # 12158
- 12160 See note # 6052
- 12161 See note # 6052
- 12162 See note # 6053
- 12163 See note # 6053
- 12168 TH subdivision into six layers (H4.8.03.115/121) suggested a well-divided structure. Insausti and Amaral (2012) emphasized that the laminar organization of the Presubiculum is complex and only poorly understood. They described a single, superficially located cellular layer made up of External and Internal principal layers. Their subdivision is followed here.